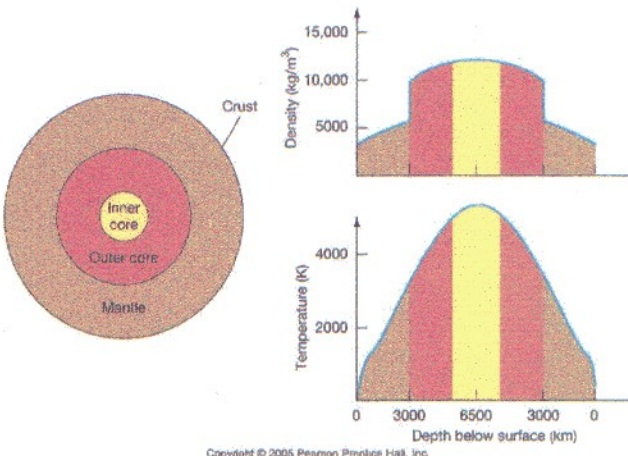


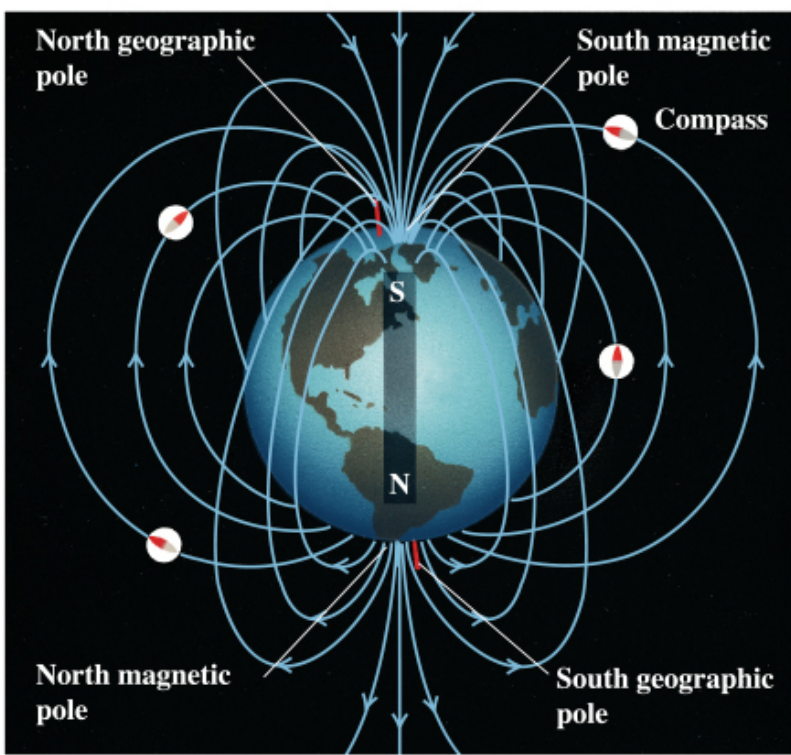
CHAPTER 1

- Earth magnetic field.
- Planet rotation and core at the origin of the magnetic field.
- Charged particles motion in the magnetic field of the planets.
- Van Allen belts and plasma torus of Jupiter due to Io.
- Magnetosphere of a planet.

Earth magnetic field



Origin: Origine:
convective
currents in the
outer fluid core
coupled to the
planet rotation.

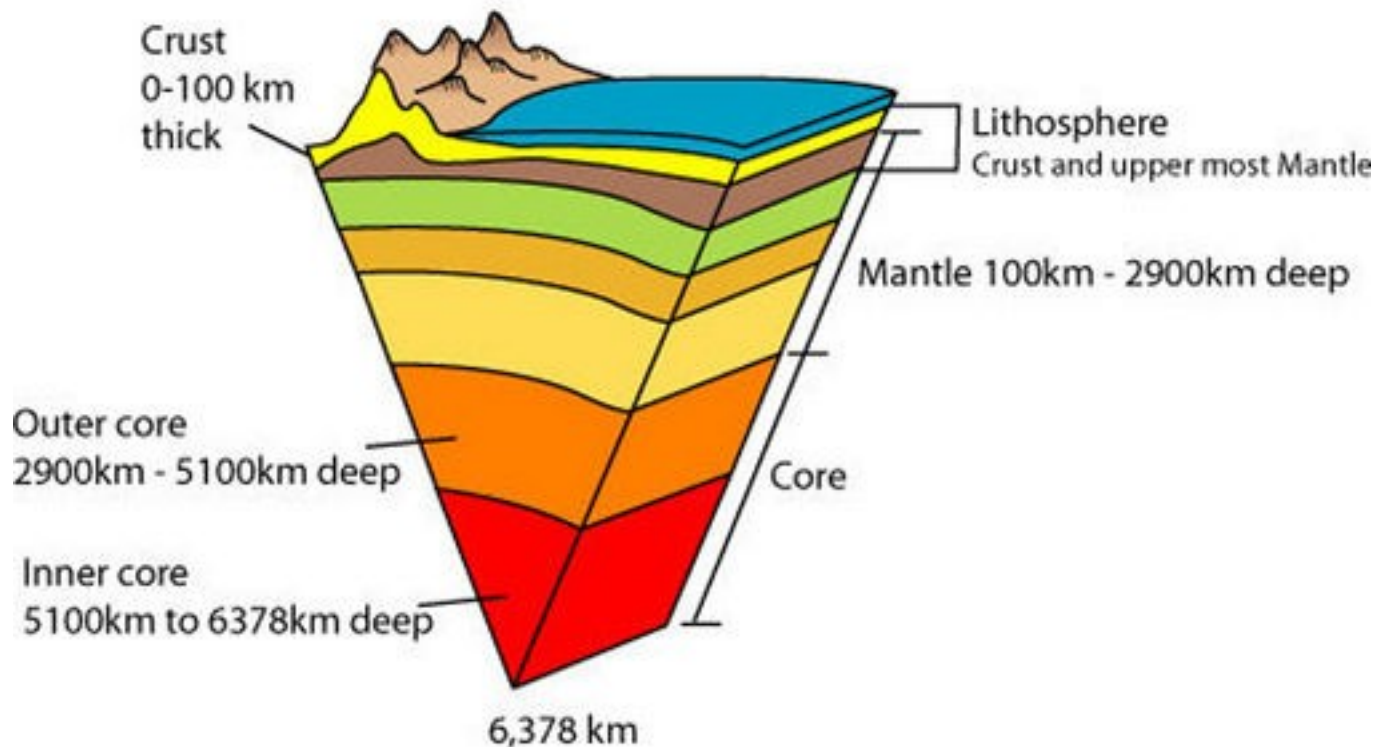


Dipole field:
90% of the
total field.

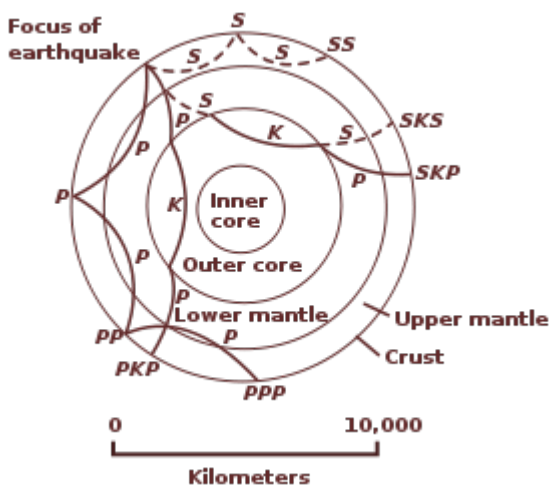
- 97-99% Campo principale dovuto a correnti nel nucleo
- 1-2% Campo dovuto a rocce magnetizzate nella crosta
- 1-2% Campo esterno prodotto da correnti attorno alla Terra

Earth Structure

(Not to Scale)

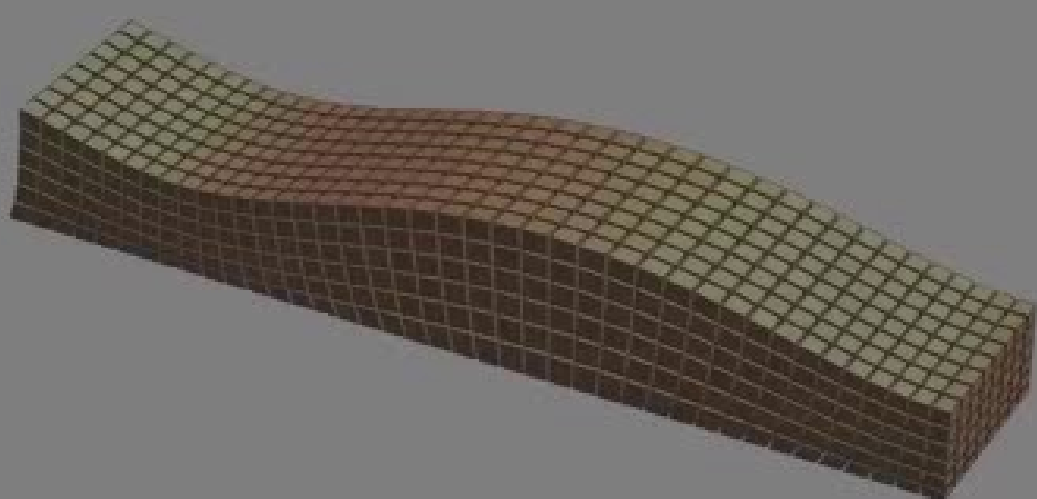


Tomography based on seismic waves

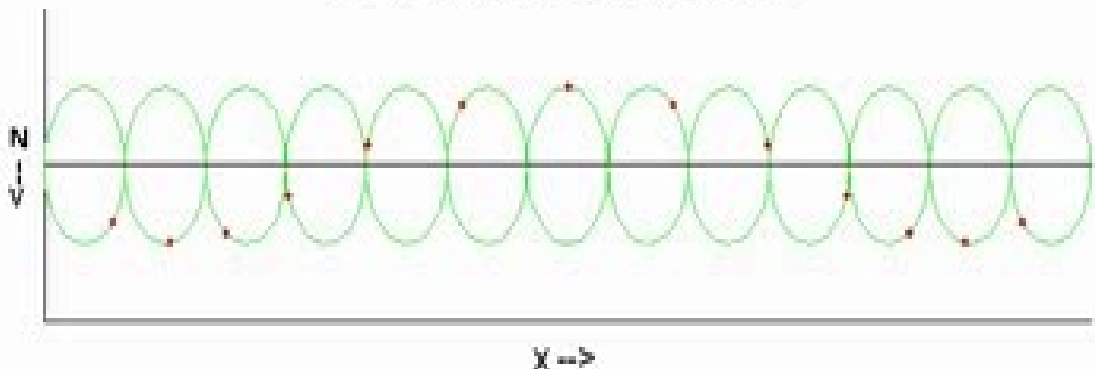


S-wave

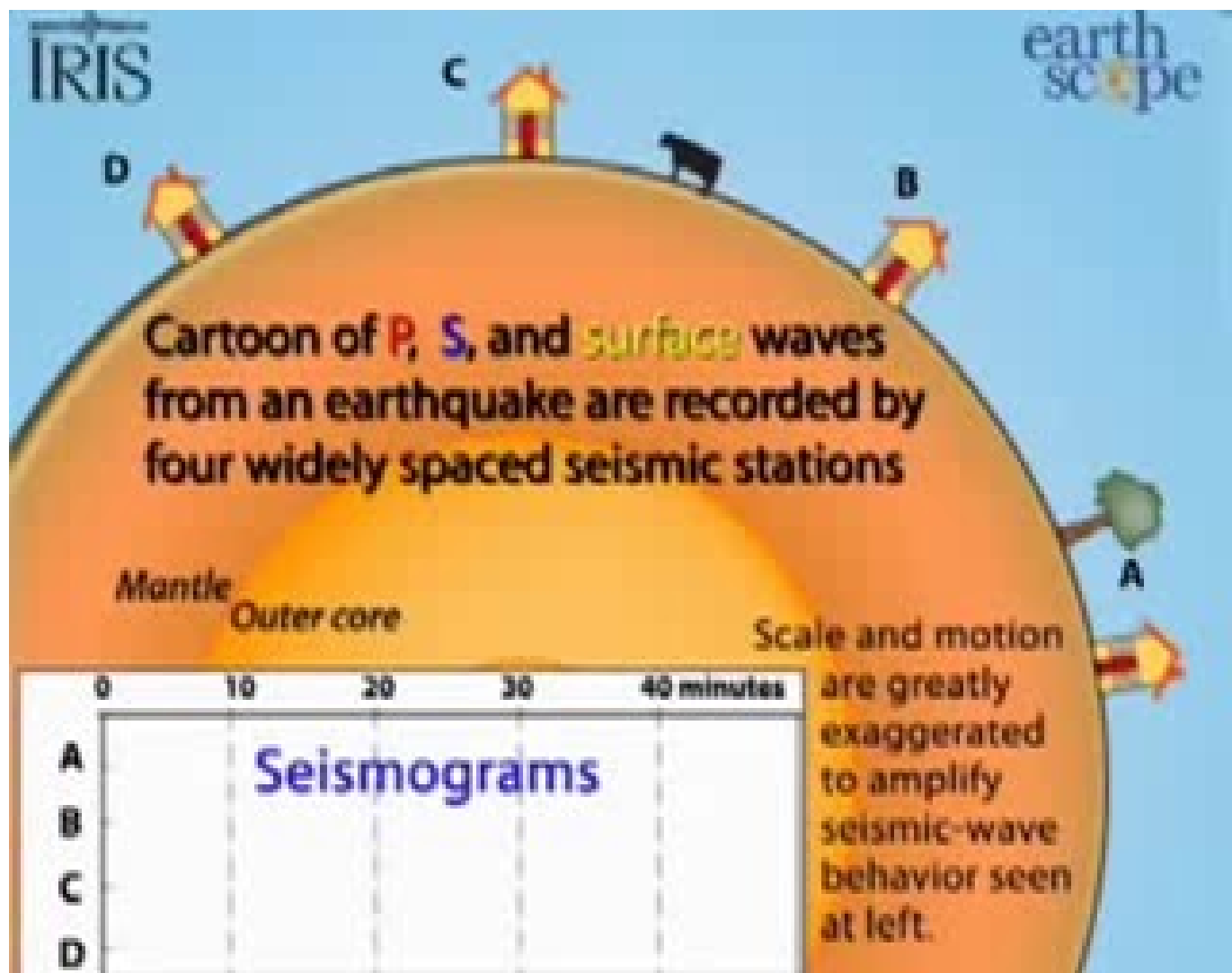
P-wave

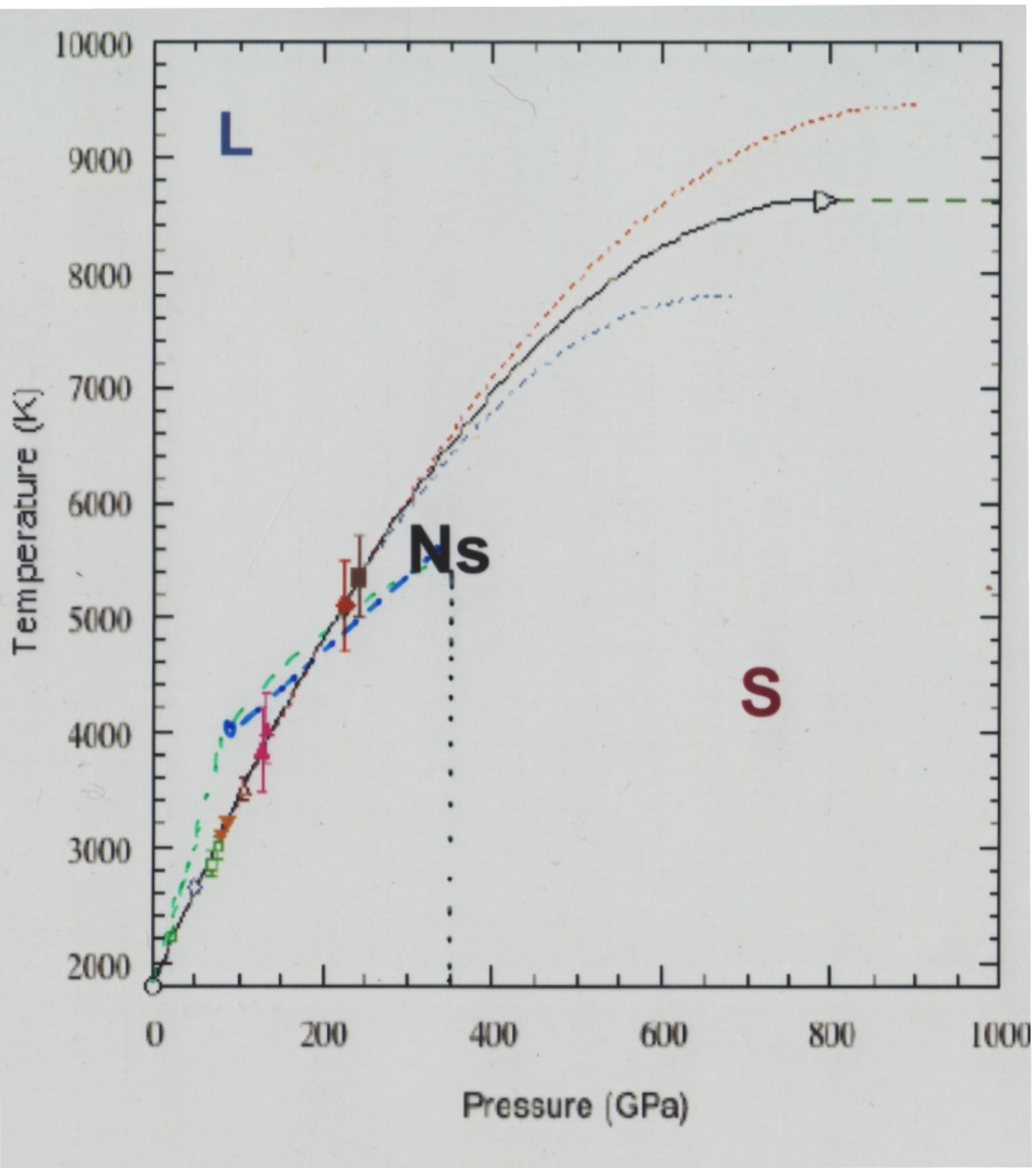


Particle motion in Rayleigh waves



Con le onde sismiche è possibile eseguire una 'tomografia' della Terra.

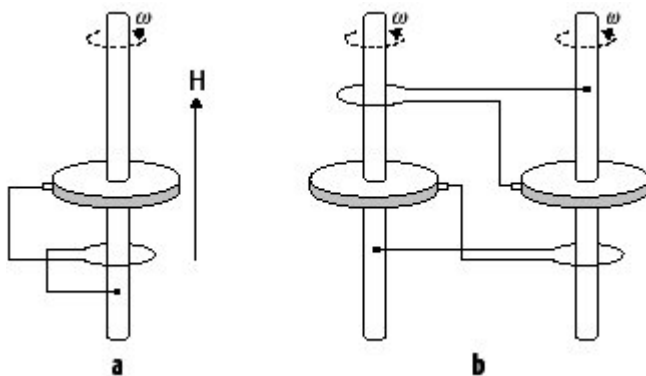




The Earth nucleus is partly liquid (outer core) and partly solid (inner core) because the temperature growth is slower than the pressure increase and the line of the fusion temperature is crossed. In the inner core $P \sim 350$ Gpa and $T \sim 5700$ K.

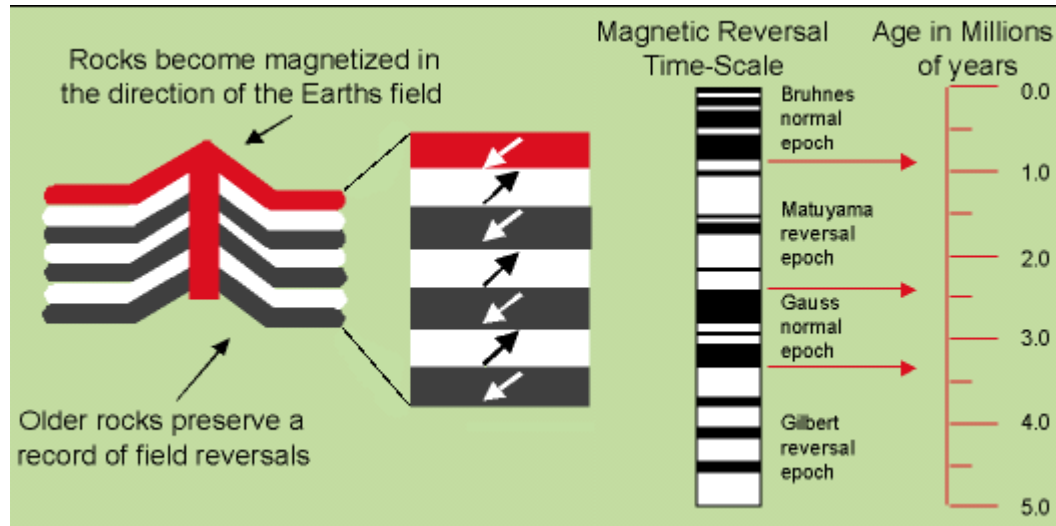
$$\frac{\partial \mathbf{B}}{\partial t} = \nabla \times (\mathbf{v} \times \mathbf{B}) + \frac{1}{\mu \sigma} \nabla^2 \mathbf{B}.$$

Equation for the magnetifield B in a plasma (sigma is the conductivity). Is there a solution to this equation where the plasma velocity generates a self-sustaining B ?

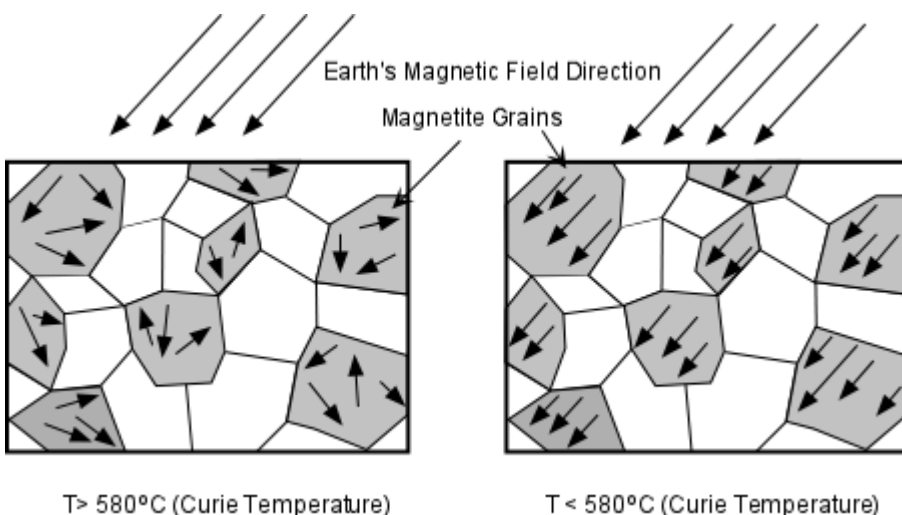


Classical example: the presence of an initial magnetic field B and the rotation motion generates a current which, passing through the bottom coil, generates a new magnetic field. Once the cycle is started, B is self-sustained.

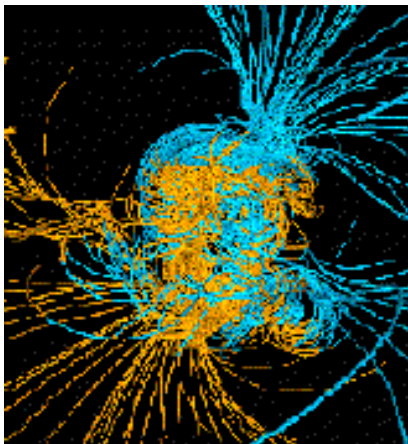
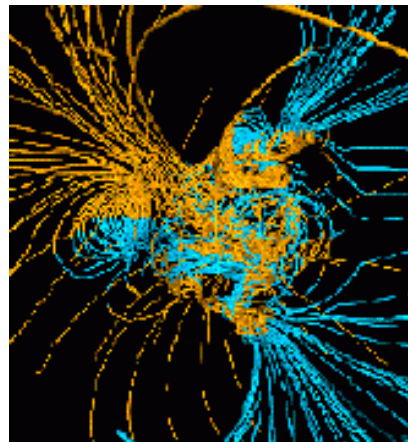
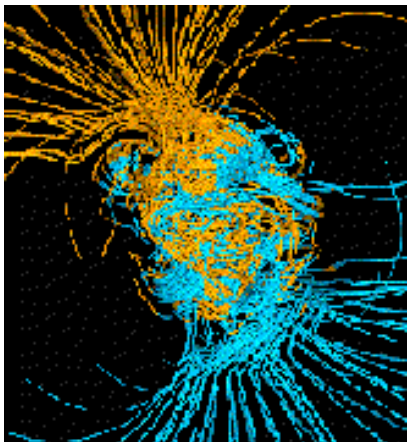
The Earth magnetic field flips about every 250000 years. (On average it is almost random...). How do we know of the flip? Sediments!!



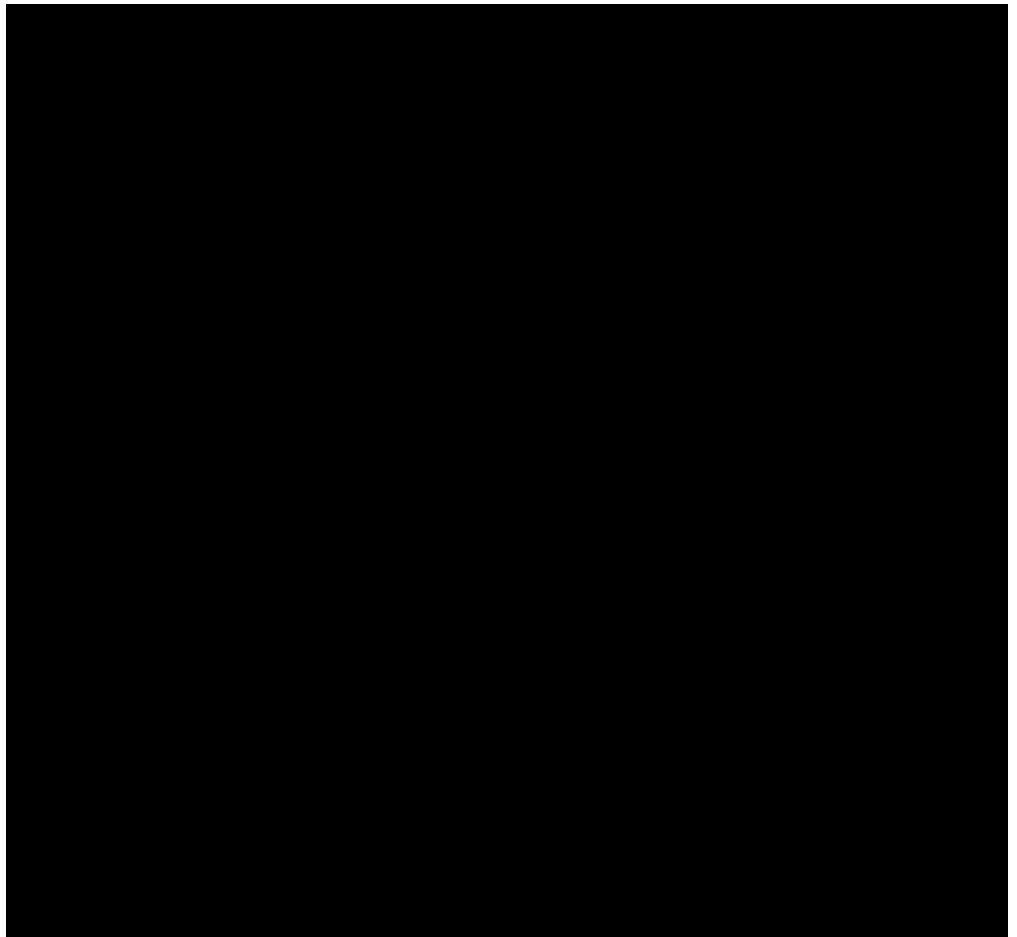
Magma flows out of the crust with $T > T_{\text{Curie}}$ and it is not magnetized. When it cools down, it becomes magnetic and the orientation is that of the Earth B .

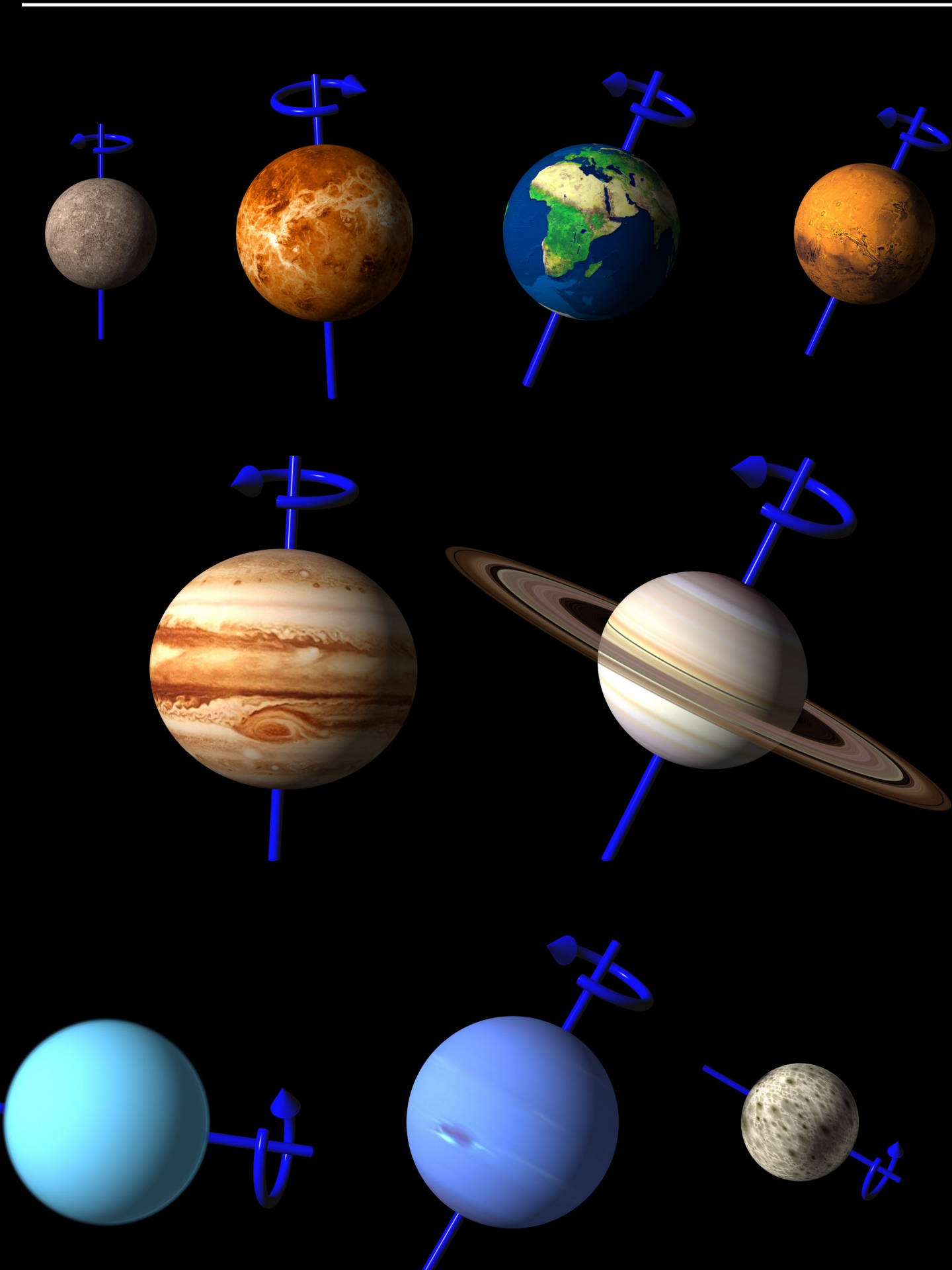


Numerical model simulating the evolution of the magnetic field of the Earth. The MHD equations are solved.



Hydro-simulations of Glatzmaier-Roberts: the convective motions in the outer core are modeled. The reversal of B lasts only a few thousands yrs.



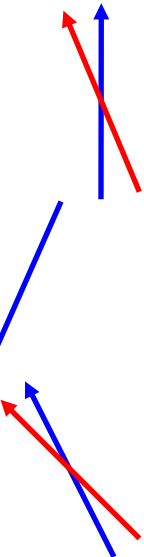


ε = obliquity

α = angle between the B dipole and rot axes



Mercurio

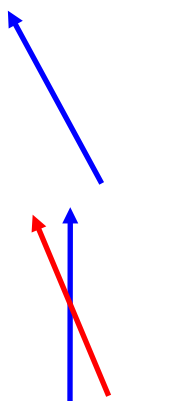


$$\alpha = 10^\circ \quad M_B = 4 \cdot 10^{-4}$$

$$\varepsilon = 0^\circ \quad P \sim 58.6 \text{ d}$$



Venere

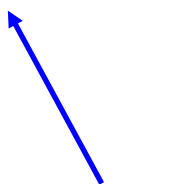


$$\alpha = 0^\circ \quad M_B = 0$$

$$\varepsilon = 177^\circ \quad P \sim -243 \text{ d}$$

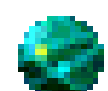


Terra

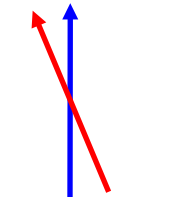


$$\alpha = 10.8^\circ \quad M_B = 1$$

$$\varepsilon = 23.5^\circ \quad P \sim 1 \text{ d}$$



Marte

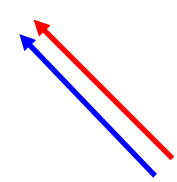


$$\alpha = 0^\circ \quad M_B = 0$$

$$\varepsilon = 25.9^\circ \quad P \sim 1 \text{ d}$$



Giove

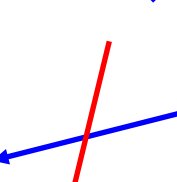


$$\alpha = 9.6^\circ \quad M_B = 20000$$

$$\varepsilon = 3.12^\circ \quad P \sim 9.9 \text{ d}$$



Saturno



$$\alpha < 1^\circ \quad M_B = 600$$

$$\varepsilon = 26.75^\circ \quad P \sim 10.7 \text{ d}$$



Urano

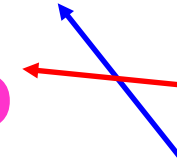


$$\alpha = 60^\circ \quad M_B = 50$$

$$\varepsilon = 97.86^\circ \quad P \sim -17.2 \text{ d}$$



Nettuno



$$\alpha = 47^\circ \quad M_B = 25$$

$$\varepsilon = 29.56^\circ \quad P \sim 16.1 \text{ d}$$

$$M_B = 7.906 \cdot 10^{25} \text{ Gauss cm}^{-3}$$

Earth magnetic moment

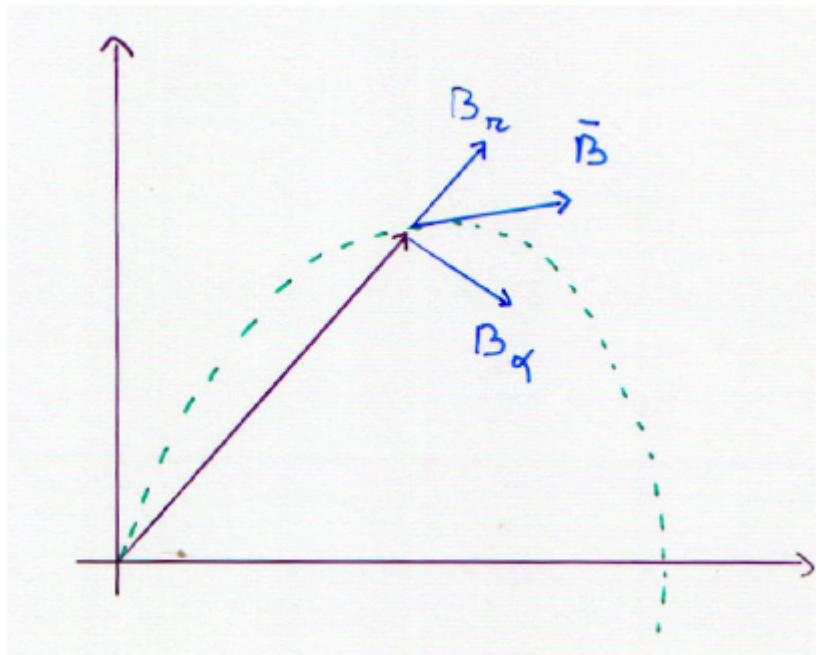
Classical dipolar field:

$$B_r = \frac{2\mu_0 m}{4\pi r^3} \cos \alpha$$

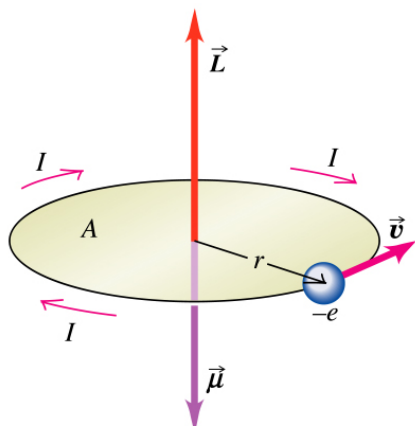
$$B_\theta = \frac{\mu_0 m}{4\pi r^3} \sin \alpha$$

$$B_\phi = 0$$

M= magnetic moment



Magnetic moment of a coil:



Copyright © Addison Wesley Longman, Inc.

$$\vec{m} = -As \cdot I \hat{z}$$

Units: Tesla $1 \text{ T} = 1 \text{ N s/(C m)}$
 $1 \text{ T} = 10000 \text{ Gauss}$

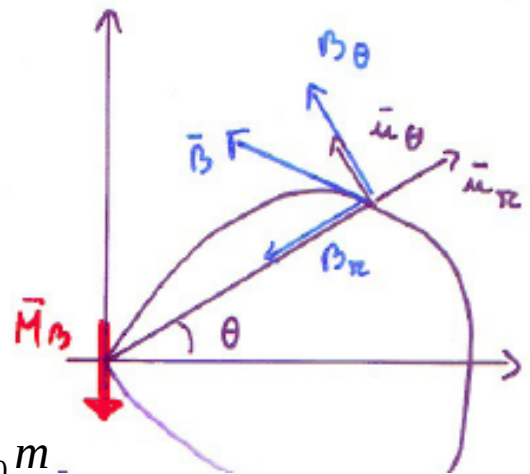
Earth magnetic field: dipolar approximation

$$B_r = -\frac{2M_B}{r^3} \cos \alpha$$

$$B_\theta = \frac{M_b}{r^3} \sin \alpha$$

$$B_\phi = 0$$

$$M_B = 7.906 \times 10^{25} \text{ Gauss/cm}^3 = \frac{\mu_0 m}{4\pi}$$



$$r(\theta) = r_e \cos^2(\theta)$$

Field line

$$\vec{v} = \dot{r} \vec{u}_r + r \dot{\theta} \vec{u}_\theta + r \sin \theta \dot{\phi} \vec{u}_\phi$$

$$\vec{v}_c = -2r_e \cos \theta \sin \theta \dot{\theta} \vec{u}_r + r_e \cos^2 \theta \dot{\theta} \vec{u}_\theta$$

$$\vec{v}_c = r_e \cos \theta \dot{\theta} (-2 \sin \theta \vec{u}_r + \cos \theta \vec{u}_\theta)$$

Field line tangent vector

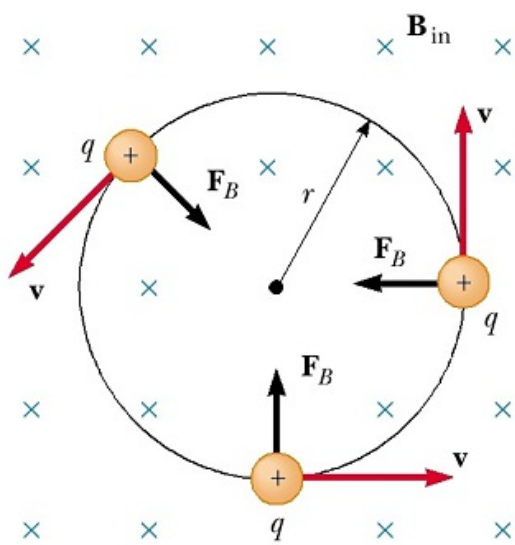
$$\vec{v}_c \parallel \vec{B}$$

Magnetic field along field lines.

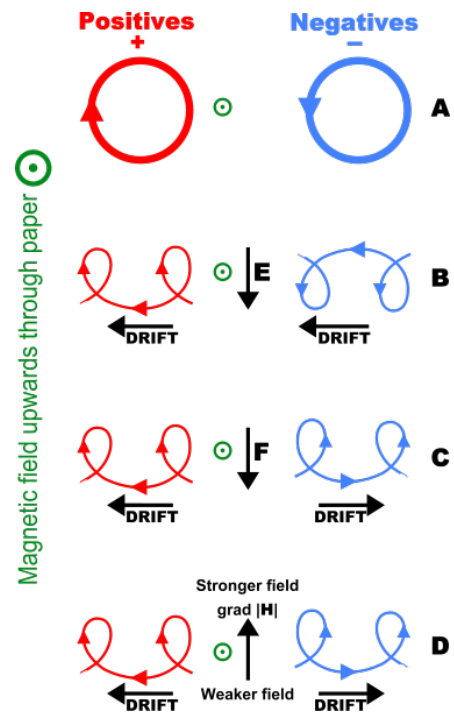
$$|\vec{B}| = \frac{M_b}{r_e^3 \cos^6 \theta} [4 \sin^2 \theta + \cos^2 \theta]^{1/2} = \frac{M_b}{r_e^3} \frac{[4 - 3 \cos^2 \theta]^{1/2}}{\cos^6 \theta} = \\ = B_e \frac{\sqrt{4 - 3 \cos^2 \theta}}{\cos^6 \theta} \theta$$

$$B_e = \frac{M_B}{r_e^3}$$

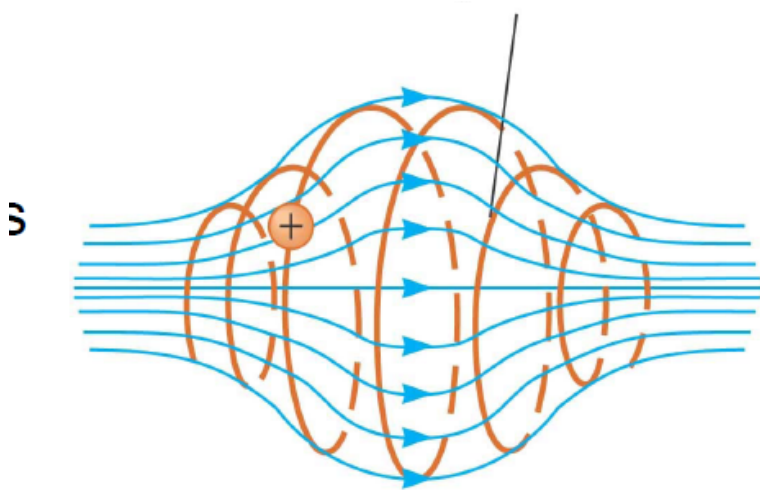
Moto dominante: giromagnetico



Moto di drift 1:
gradiente e curvatura
del campo B e forze
esterne.



Moto di drift 2:
componente
della velocità
iniziale lungo la
linea di campo



MOTO delle CARICHE nel CAMPO MAGNETICO TERRESTRE.

1) MOTO GIROMAGNETICO

$$\vec{B} = (0, 0, B) \quad \vec{v} = (v_x, v_y, 0)$$

$$\begin{cases} m \ddot{v}_x = q v_y B \\ m \ddot{v}_y = -q v_x B \end{cases} \quad \begin{cases} \ddot{x} = q \frac{B}{m} \dot{y} = -\left(\frac{qB}{m}\right)^2 \dot{x} \\ \ddot{y} = q \frac{B}{m} \dot{x} = -\left(\frac{qB}{m}\right)^2 \dot{y} \end{cases}$$

$$\ddot{x} = -\Omega_c^2 x$$

$$\ddot{y} = -\Omega_c^2 y$$

$$\bar{a} = -\Omega_c^2 \bar{r}$$

MOTO CIRCOLARE UNIFORME

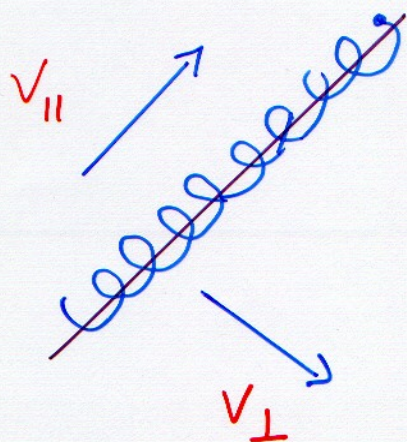
$$\boxed{\Omega_c = \frac{qB}{m}}$$

FREQUENZA di CICLOTRONE.

$$|\alpha| = \Omega_c^2 |\alpha| = \frac{V^2}{R}$$

$$R = \frac{V}{\Omega_c} = \frac{V_{\perp} m}{q B}$$

RAGGIO di CICLOTRONE (o LARMOR)

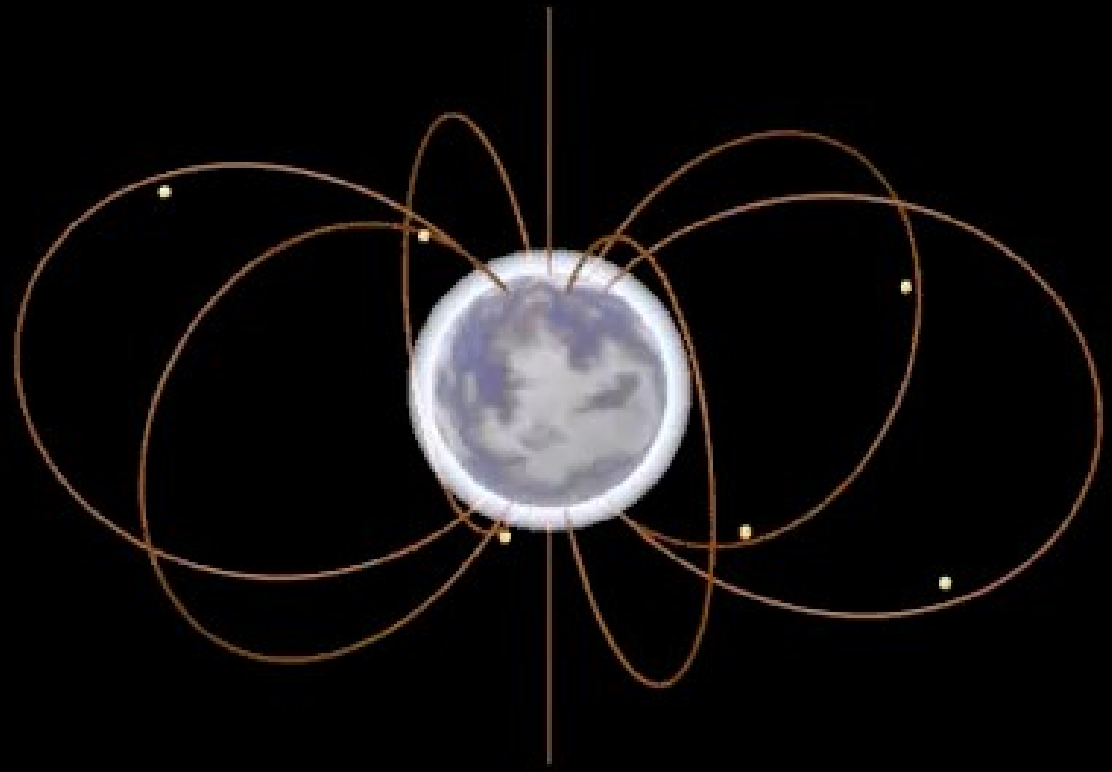


per la Terra
e⁻ di 100 KeV =>

$$R \sim 100 \text{ m}$$

$$P \sim \mu \text{s}$$

$$V \sim 10^6 \text{ km/s}$$

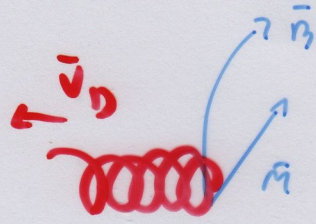


$$v_D\!=\!mv_p^2\frac{\vec{B}\!\times\!\vec{n}}{R_cq\,B^2}$$

2) Moto di DRIFT

1) Dorato alla curvatura delle linee di campo.

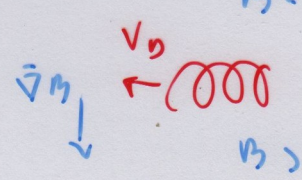
$$\bar{V}_D^{\parallel} = m v_{\parallel}^2 \frac{\bar{B} \times \bar{m}}{R_c q B^2}$$



$$R_c = \text{raggio di curvatura} = \frac{B}{\nabla_{\perp} B}$$

2) Dorato al gradiente del campo

$$\bar{V}_D^{\perp} = \frac{1}{2} m v_{\perp}^2 \frac{\bar{B} \times \nabla B}{q B^3}$$



Protoni e elettroni hanno moto di drift opposto

3) Dorato ai campi \vec{E} e \vec{G}

$$\bar{V}_D^E = \frac{\bar{E} \times \bar{m}}{B^2}$$

$$\bar{V}_D^G = m \frac{\bar{G} \times \bar{B}}{q B^2}$$

Termino dominante V_D^{\perp} perché proporzionale a $v_{\perp} \gg v_{\parallel}$

o) $\vec{E} \times \vec{B}$ drift.

KUTHERFORD
"Introduction to
Plasma Physics"

$\vec{B} = B \cdot \hat{z}$ in 1 dimensione comp.

\vec{E} uniforme e costante.

$$m \ddot{\vec{v}} = q (\vec{E} + \vec{v} \times \vec{B})$$

Sia $\vec{u} = \vec{v} - \frac{(\vec{E} \times \vec{B})}{B^2}$

Velocità della particella in un SolR

con $v_{SolR} = \frac{\vec{E} \times \vec{B}}{B^2}$

$$\dot{\vec{u}} = \dot{\vec{v}} \quad (\text{per la costante di } \vec{E}, \vec{B})$$

$$m \ddot{\vec{u}} = q (\vec{E} + \vec{v} \times \vec{B}) = q \left(\vec{E} + \vec{u} \times \vec{B} + \left(\vec{E} \times \vec{B} \right) \times \vec{B} \right)$$

$$= q \left(\vec{E} + \vec{u} \times \vec{B} + \left(\frac{\vec{E} \cdot \vec{B}}{B^2} \right) \vec{B} - \vec{E} \right) =$$

$$= q \left(\hat{b} (\vec{E} \cdot \hat{b}) + \vec{u} \times \vec{B} \right)$$

$$\text{con } \hat{b} = \frac{\vec{B}}{B}$$

$$*(A \times B) \times C = (A \cdot C)B - (B \cdot C)A$$

$$\text{Consideriamo ora } u_{||} = \bar{u} \cdot \hat{b}$$

$$u_{\perp} = \|\bar{u} - u_{||}\hat{b}\|$$

$$m \dot{\bar{u}} \cdot \hat{b} = m \dot{u}_{||} = q \left(\hat{b} \cdot \hat{b} (\bar{E} \cdot \hat{b}) + (\bar{u} \times \bar{B}) \cdot \hat{b} \right) =$$

$$= q E_{||}$$

$$\text{ma } u_{||} = v_{||} \quad \text{purché} \quad \hat{b} \parallel 0$$

$$\dot{\bar{u}} \cdot \hat{b} = \dot{\bar{v}} \cdot \hat{b} - \frac{(\bar{E} \times \bar{B})}{B^2} \cdot \hat{b}$$

quindi

$$v_{||} = \frac{q}{m} E_{||} t + v_{||0}$$

Ora: per ottenere u_{\perp} si sottrae a
 $\dot{\bar{u}} - \dot{u}_{||}$ lungo \hat{b} \Rightarrow

$$m \dot{\bar{u}} - m \dot{u}_{||} \hat{b} = q \left(\hat{b} (\bar{E} \cdot \hat{b}) + \bar{u} \times \bar{B} - q E_{||} \hat{b} \right) =$$

$$= q (\bar{u} \times \bar{B}) = q \bar{u}_{\perp} \times \bar{B}$$

$$m \dot{\bar{u}}_{\perp} = q \bar{u}_{\perp} \times \bar{B}$$

Nel Sd.R in moto con $\bar{V}_{SdR} = \bar{E} \times \bar{B}$ fa

3)

le guiding center si muove lungo le linee di campo con $v_{||}$ (\parallel a \vec{B})

AURORA, nel SdR originale il guiding center si muove con velocità

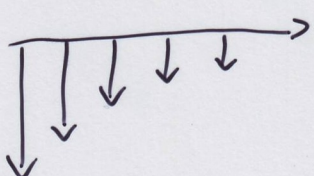
$$\bar{v}_{gc} = v_{||} \hat{b} + \frac{\bar{E} \times \bar{B}}{B^2}$$

$$V_E = \frac{\bar{E} \times \bar{B}}{B^2}$$

VELOCITÀ
di
DRIFT

4)

•) Drift dovuto a $\bar{\nabla}B$



Campo NON
omogeneo

(Si assume che $R_L \ll$ scala di variazione
di \bar{B})

$$\frac{R_L}{B} |\bar{\nabla}B| \ll 1$$

Si sviluppa la \bar{v} della particella
come una serie

$$\bar{v} = \bar{v}_0 + \bar{v}_1 + \bar{v}_2 + \dots \quad \begin{matrix} \text{Termini via} \\ \text{via più piccoli.} \end{matrix}$$

dove il termine 0 corrisponde al moto
giromagnetico. Si assume anche che:

$$\bar{B} = B_{g.c.} \hat{z} + (\gamma - \gamma_{g.c.}) \frac{dB}{dy} \cdot \hat{z}$$

dove $\gamma_{g.c.}$ è il guiding center della
particella all'inizio ($y=0$)

5) Le eq. del moto sono: $(m\ddot{v} = q\vec{v} \times \vec{B})$

$$m\ddot{v}_x = qV_y \left[B_{gc} + (y - Y_{gc}) \frac{dB}{dy} \right]$$

$$m\ddot{v}_y = -qV_x \left[B_{gc} + (y - Y_{gc}) \frac{dB}{dy} \right]$$

Introduciamo nelle equazioni le sviluppo in serie fino al I° ORDINE (si trascura il II°)

$$m\ddot{v}_{x0} + m\ddot{v}_{x1} = q(V_{y0} + V_{y1}) \left[B_{gc} + (y_0 + y_1 - Y_{gc}) \frac{dB}{dy} \right]$$

$$m\ddot{v}_{y0} + m\ddot{v}_{y1} = -q(V_{x0} + V_{x1}) \left[B_{gc} + (y_0 + y_1 - Y_{gc}) \frac{dB}{dy} \right]$$

- Assumiamo che V_{x0} e V_{y0} e y_0 corrispondono al moto giramagnetico

- si trascura $y_1 \cdot \frac{dB}{dy}$ perché al II° ordine (piccoli rispetto al moto giramagnetico)

ORD.

SOLUZIONE 0 \Rightarrow moto giramagnetico

SOLUZIONE 1 \Rightarrow moto di drift



6)

$$m \dot{v}_{x_1} = q V_{y_1} B_{gc} + q V_{y_0} (Y_0 - Y_{gc}) \frac{dB}{dy}$$

$$m \dot{v}_{y_1} = -q V_{x_1} B_{gc} - q V_{x_0} (Y_0 - Y_{gc}) \frac{dB}{dy}$$

(si trascura $qV_{y_1} (Y_0 - Y_{gc}) \frac{dB}{dy}$ poiché II^0 ordine,
e si tiene per $qV_{x_1} (Y_0 - Y_{gc}) \frac{dB}{dy}$).

→ Si esegue media delle quantità
nelle equazioni su molti periodi di
moto gromagnetico.

Ora $m \langle v_{x_1} \rangle$ e $m \langle v_{y_1} \rangle$ sono
quantità piccole $^{(\text{I}^0 \text{ord})}$ e la media $m \langle v_{x_1} \rangle$
ad esempio rappresenta la piccola variazione
di una quantità piccola ($\text{II}^0 \text{ ord}$).

In altre parole, la variazione di $\langle v_x \rangle$
rispetto al periodo gromagnetico è
piccola.

7) Allora:

$$q \langle v_{y_1} \rangle B_{g_c} + q \langle v_{x_0} (y_0 - Y_{g_c}) \rangle \frac{d\beta}{dy} = 0$$

$$-q \langle v_{x_1} \rangle B_{g_c} - q \langle v_{x_0} (y_0 - Y_{g_c}) \rangle \frac{d\beta}{dy} = 0$$

Ora la media di $v_{y_0} (y_0 - Y_{g_c})$ è nulla perché

$$\begin{aligned} v_{y_0} &= \pm i v_\perp e^{i(w_c t + \delta)} \\ y_0 - Y_{g_c} &= \pm \frac{v_\perp}{\omega_c} e^{i(w_c t + \delta)} \end{aligned} \quad \leftarrow \begin{array}{l} \text{PARTE} \\ \text{REALE} \end{array}$$

I due termini sono sfasati di 90° , sono oscillanti e quindi la media è 0. $\Rightarrow \langle v_{y_1} \rangle = 0$

$$\langle v_{x_1} \rangle = - \langle v_{x_0} (y_0 - Y_{g_c}) \rangle \frac{d\beta}{dy}$$

dove $\langle v_{x_0} (y_0 - Y_{g_c}) \rangle = \frac{v_\perp^2}{\omega} \langle e^{2i(w_c t + \delta)} \rangle =$

$$= \frac{v_\perp^2}{2\omega_c}$$

$$\bullet \quad \left\langle \operatorname{Re} \left(i V_{\perp} e^{i(\omega_c t + \delta)} \right) \cdot \operatorname{Re} \left(\frac{V_{\perp}}{\omega_c} e^{i(\omega_c t + \delta)} \right) \right\rangle =$$

$$= \frac{V_{\perp}^2}{\omega_c} \left\langle - \sin \rho \cos \rho \right\rangle = - \frac{V_{\perp}^2}{\omega_c} \frac{1}{2\pi} \int_0^{2\pi} \sin \rho \cos \rho d\rho = 0$$

$$\bullet \quad \left\langle V_{x_0} \cdot (Y_c - Y_{g_c}) \right\rangle = \frac{V_{\perp}^2}{\omega_c} \left\langle \operatorname{Re} \left(e^{i(\omega_c t + \delta)} \right) \cdot \operatorname{Re} \left(e^{i(\omega_c t + \delta)} \right) \right\rangle =$$

$$= \frac{V_{\perp}^2}{\omega_c} \frac{1}{2\pi} \int_0^{2\pi} (\cos \rho)^2 d\rho = \frac{V_{\perp}^2}{\omega_c} \frac{\pi}{2\pi} = \frac{V_{\perp}^2}{2\omega_c}$$

8)

$$\langle v_{x_1} \rangle = \frac{v_\perp^2}{2w_c} \frac{1}{B_{g,i}} \frac{dB}{dy}$$

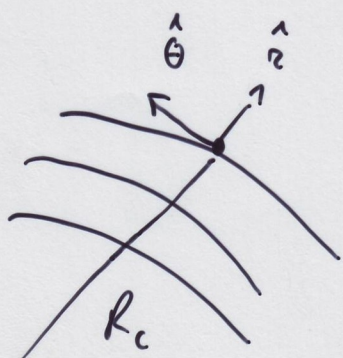
La particella quindi 'drifta' in una direzione \perp a y e z quindi dove B è costante e quindi $B_{g,i} = B_{g,c}$

La forma generale è:

$$\bar{v}_{\text{grad}} = \frac{v_\perp^2}{2w_c} \frac{\vec{B} \times \vec{\nabla} B}{B^2} = \frac{v_\perp m}{2q} \frac{\vec{B} \times \vec{\nabla} B}{B^3}$$

•) DRIFT dovuto alla CURVATURA del campo.

Introduciamo un sistema di coordinate cilindriche che localmente approssima la curvatura delle linee di campo B



9)

Ad archime 0, le particelle si muovono lungo le linee di campo (direzione $\hat{\theta}$) con velocitài $v_{||} \hat{b}$ e v_{\perp} . Ci si pone in un sistema di Rij. che si muove solidalmente con le linee di campo.

$$\bar{F}_{cf} = m v_{||}^2 \frac{\hat{r}}{R_c} = m v_{||}^2 \frac{\bar{R}_c}{R_c^2}$$

con R_c raggio di curvatura. In presenza di una forza si ottiene :

$$\bar{v}_{cur} = \frac{(\bar{F} \times \bar{B})}{q B^2} = \frac{m v_{||}^2}{q B^2} \quad \frac{\bar{R}_c \times \bar{B}}{R_c^2} = m v_{||}^2 \frac{\bar{m} \times \bar{m}}{R_c q B^2}$$

$$\bar{m} = \frac{\bar{R}_c}{R_c}$$

Ora $\frac{\bar{R}_c}{R_c^2} = (\hat{b} \cdot \hat{v}) \hat{b}$

$$\bar{v}_{cur} = \frac{m v_{||}^2}{q B^2} \quad \bar{B} \times [(\hat{b} \cdot \hat{v}) \hat{b}]$$

INVARIANTE ADIABATICO μ

Una particella che ruota (moto gizomagnetico) è analoga a una corrente \rightarrow si può definire momento magnetico $\bar{\mu} = I \cdot A_S \cdot \bar{m}$

$$R_c = \frac{V_\perp}{\Omega_c} \quad I = \frac{dq}{dt} = \frac{q \Omega_c}{2\pi} \quad (\Omega_c \cdot T = 2\pi)$$

$$\bar{\mu} = I \pi R_c^2 \cdot \bar{m} = \frac{q \Omega_c}{2\pi} \pi \frac{V_\perp^2}{\Omega_c^2} = \frac{1}{2} m \frac{V_\perp^2}{B} \cdot \bar{m}$$

μ si conserva se B VARIA LENTAMENTE

RISPETTO AL PERIODO del MOTO GIZOMAGNETICO

Legge di Faraday: Se $\epsilon_T = \frac{1}{2} m V_\perp^2$ (Em. moto rotat.)

$$\Delta \epsilon_\perp = q \oint \vec{E} \cdot d\vec{l} = -q \int \frac{\partial \vec{B}}{\partial t} \cdot d\vec{s} \quad \begin{array}{l} \text{su un periodo} \\ \text{di rotazione} \\ P = \frac{2\pi}{\Omega_c} \end{array}$$

$$\Delta \epsilon_\perp = q \frac{\partial \phi_B}{\partial t} = q \pi R_c^2 \cdot \frac{\partial \vec{B}}{\partial t} = \left(\text{il segno + perché nel} \right. \\ \left. \text{moto gizomagnetico} \right. \\ \left. \text{convenzione invertita} \right)$$

$$= q \frac{V_\perp^2 m^2}{q^2 B^2} \cdot \pi \frac{\partial \vec{B}}{\partial t} = \frac{\epsilon_\perp}{B} \cdot T \cdot \frac{\partial \vec{B}}{\partial t} = \begin{array}{l} \text{Se si assume} \\ \text{che } B \text{ sia} \\ \text{costante su } P_c \end{array}$$

$$= \frac{\epsilon_\perp}{B} \cdot \Delta B \quad \text{con } \left(\Delta B = T \cdot \frac{\partial B}{\partial t} \right)$$

$$\Delta \left(\frac{\epsilon_\perp}{B} \right) = 0 = \Delta \mu$$

$$\Delta \left(\frac{y}{x} \right) = \frac{\partial \left(\frac{y}{x} \right)}{\partial x} \cdot \Delta x + \frac{\partial \left(\frac{y}{x} \right)}{\partial y} \cdot \Delta y$$

$$= -\frac{y}{x^2} \cdot \Delta x + \frac{\Delta y}{x} = -\frac{y}{x^2} \Delta x + \frac{y}{x^2} \Delta x = 0$$

3) INVARIANTE ADIABATICO e MOTO A SPECCHIO

$$\mu = \frac{1}{2} \frac{m v_{\perp}^2}{B}$$

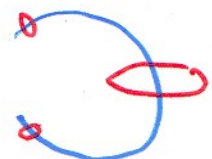
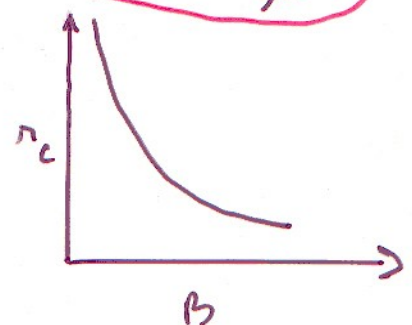
costante se B varia lentamente.

• $r_c = \frac{v_{\perp} m}{q B}$

$$B = \frac{1}{2} \frac{m v_{\perp}^2}{\mu}$$

$$r_c = \frac{2 \mu}{q v_{\perp}}$$

$$r_c \propto \frac{1}{B}$$

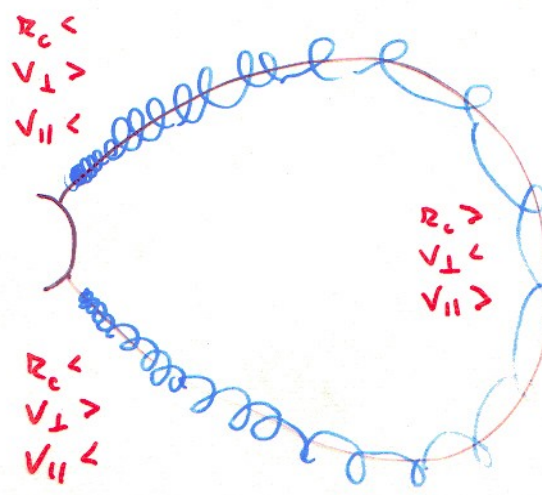
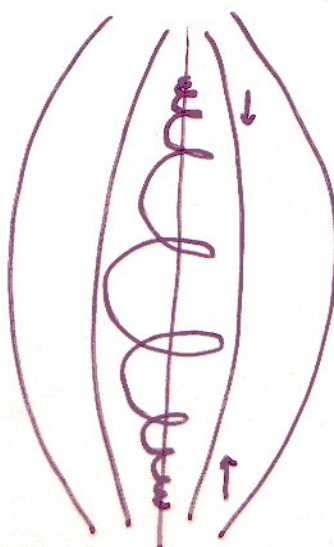


• $\frac{1}{2} (v_{\perp}^2 + v_{\parallel}^2) m = \text{costante}$ (CAMPO B)
 NON FA LAVORO

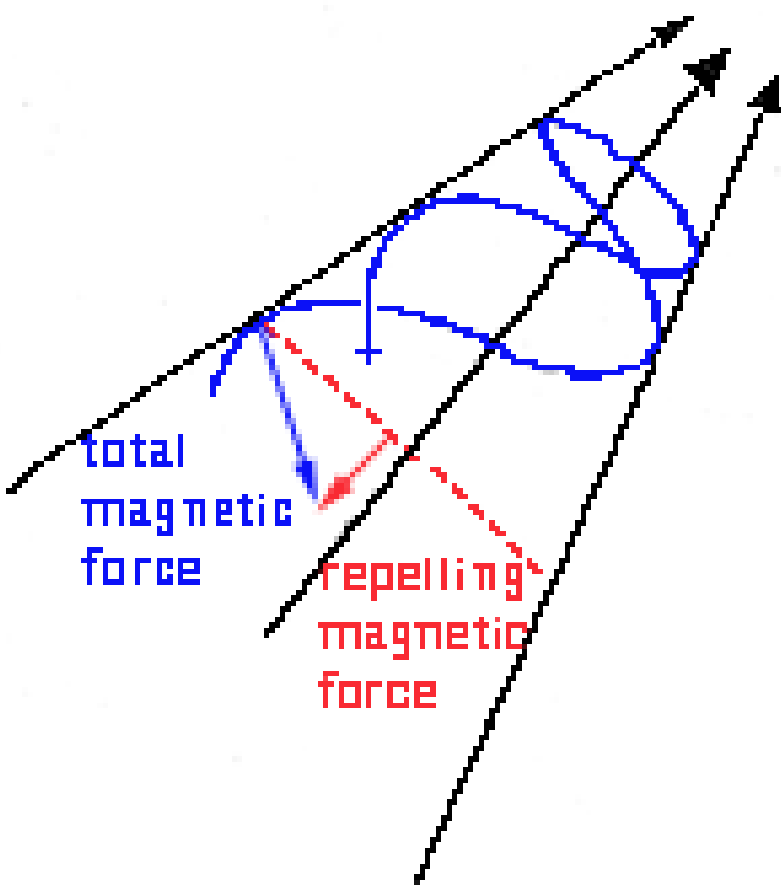
Se $B > \frac{1}{2} \frac{m v^2}{\mu}$

$$v^2 = v_{\perp}^2 + v_{\parallel}^2$$

PARTICELLA VIENE RIFLESSA!

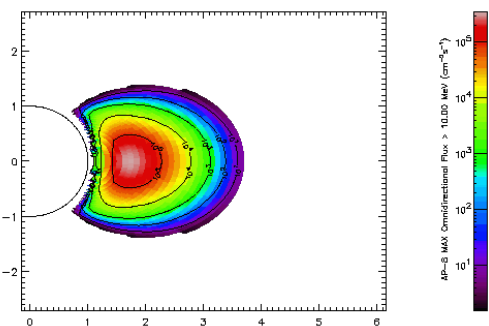
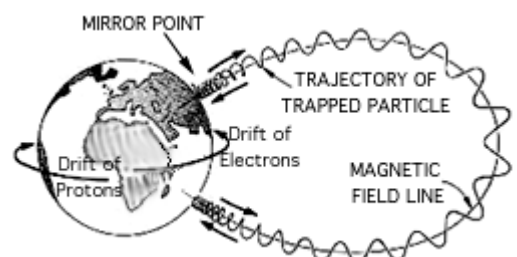
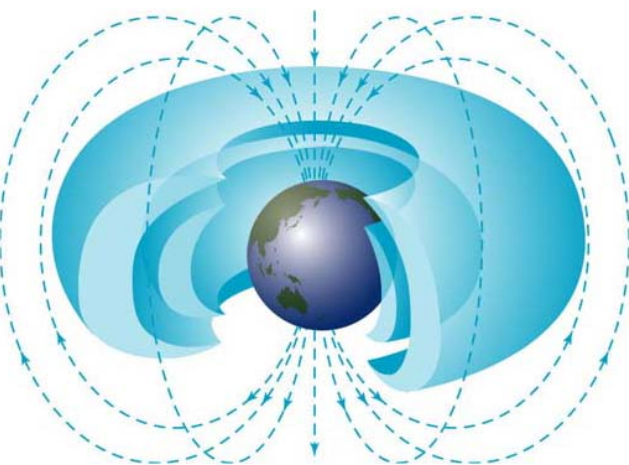


Quando il campo magnetico è inclinato, appare una forza repulsiva (si vede scomponendo le componenti di B). La forza è infatti perpendicolare alle linee di campo.

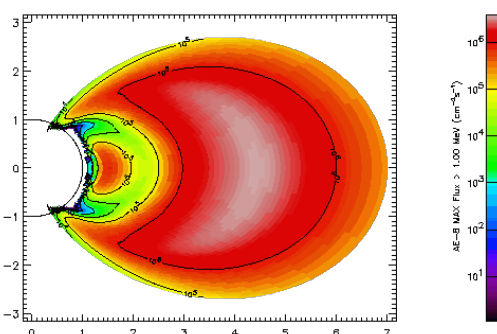


Fasce di Van Allen

- **INTERNA:** $R \sim 1-3 R_E$ (max. $2 R_E$) Composizione: p^+ (10-50 Mev) e^- , p^+ , O^+ (1-100 Kev) N^+ , He^+ , C^+ (~ 50 Mev)
- **ESTERNA:** $R \sim 3-9 R_E$ (max. $4 R_E$) Composizione: e^- (10 Mev)

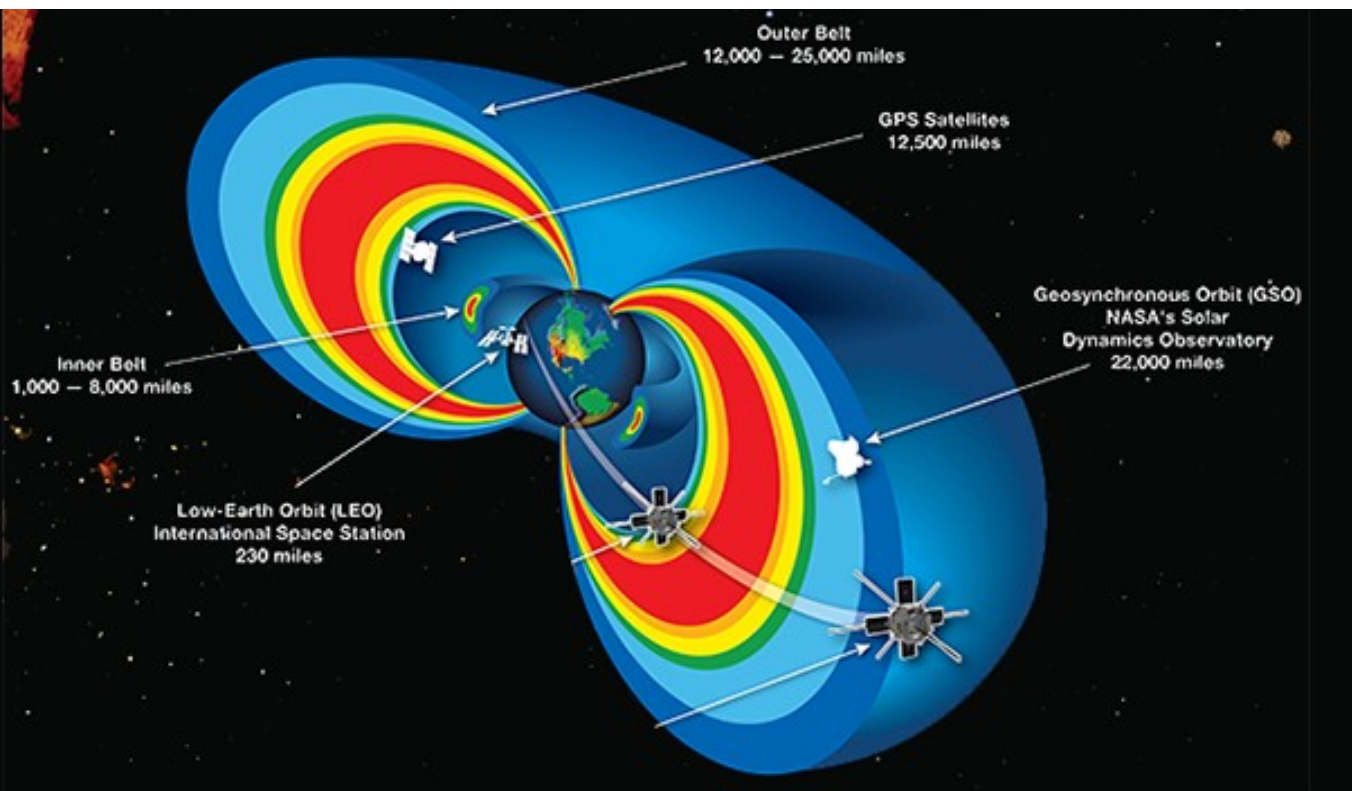


Inner proton belt



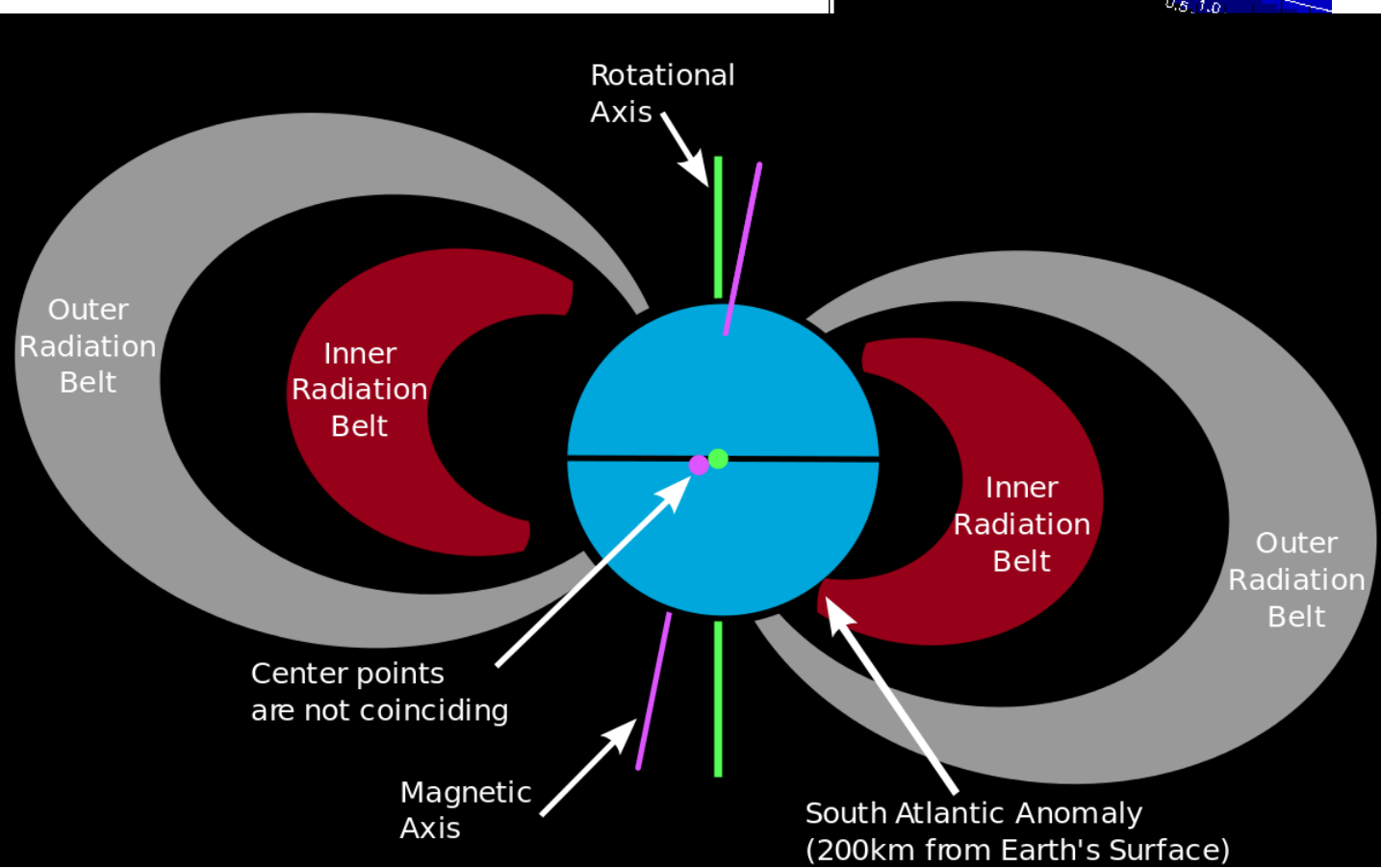
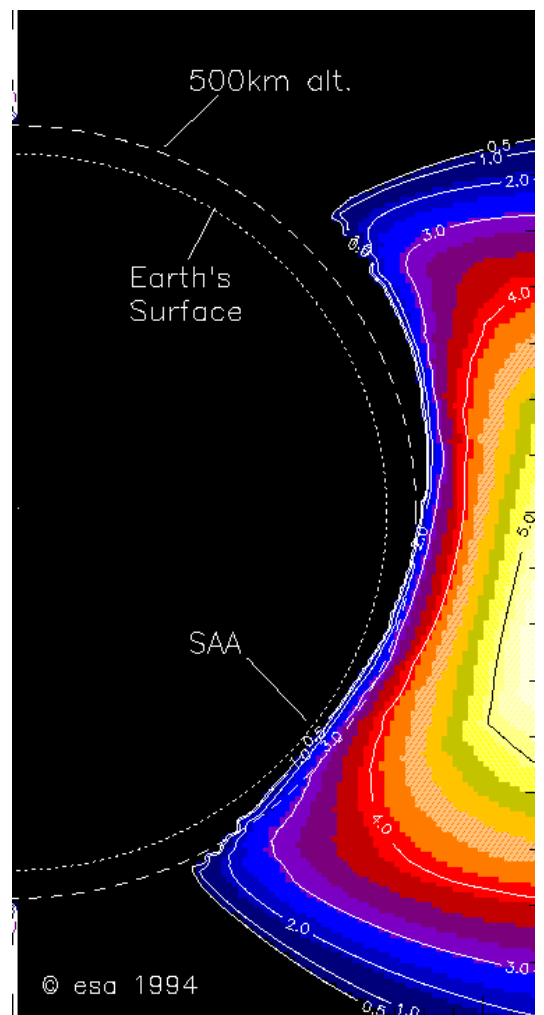
Outer electron belt

I satelliti devono orbitare fuori dalle Belts altrimenti ci sono problemi con gli strumenti elettronici.

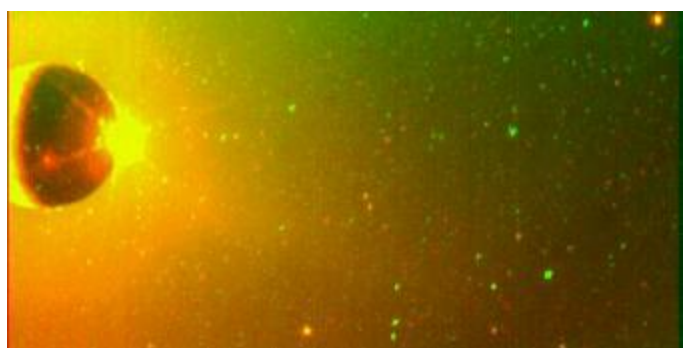
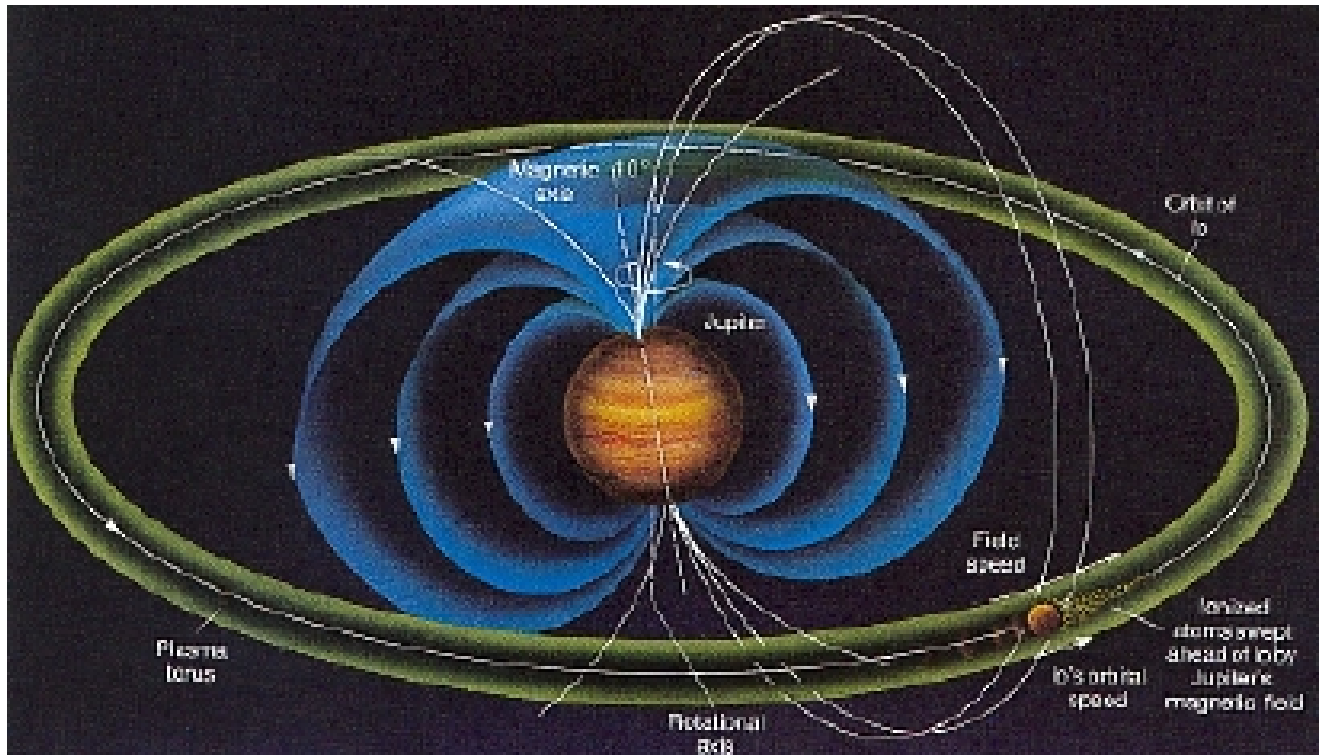


Anomalia del sud

Atlantico: la fascia di Van Allen interna è allineata con il campo magnetico che è inclinato rispetto all'asse terrestre e leggermente spostato rispetto al centro della Terra. Di conseguenza al Sud la fascia di Van Allen si avvicina di più alla Terra e genera l'anomalia. Radiazioni più intense e campo magnetico indotto dalle cariche maggiore.

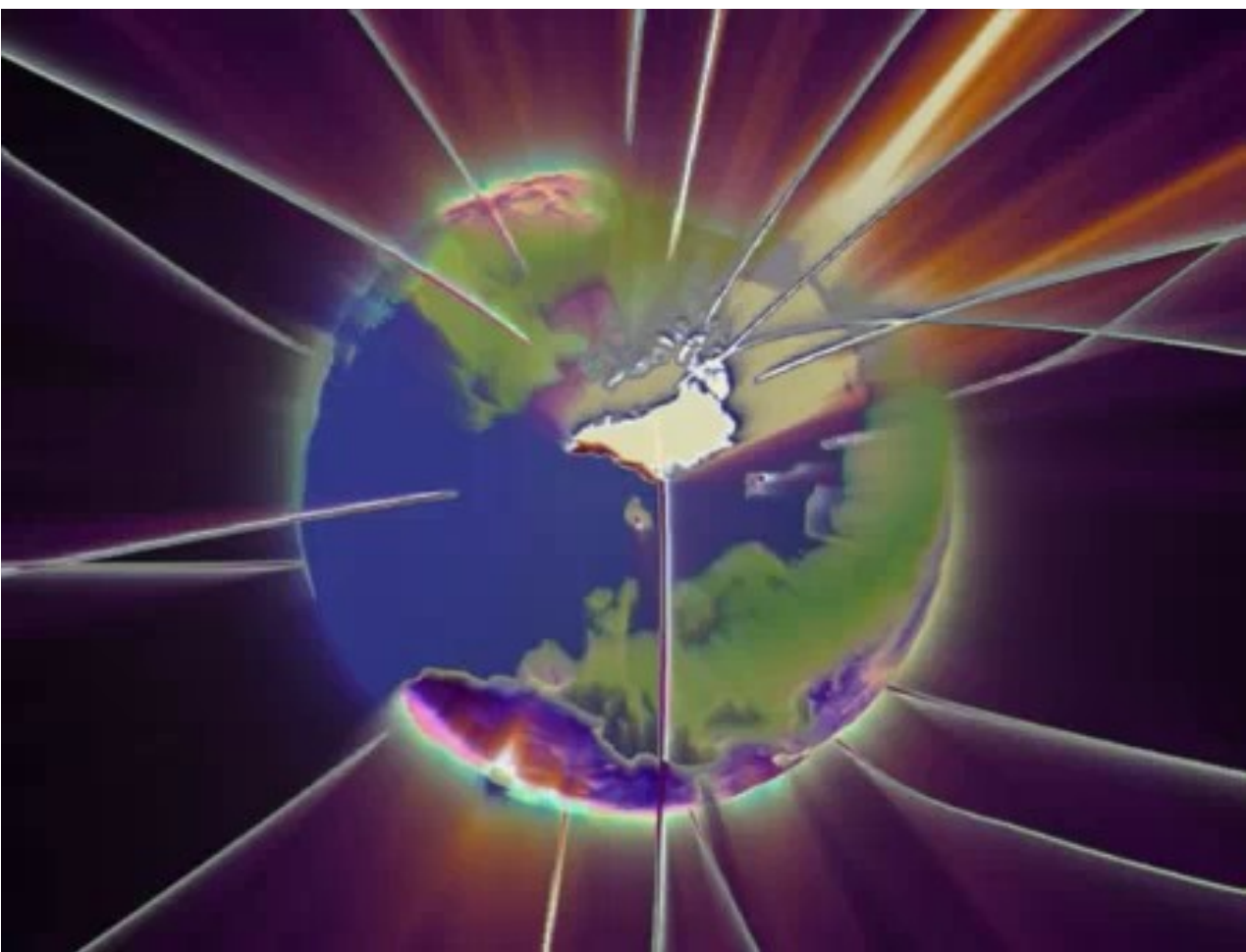


GIOVE: Fasce di Van Allen + Toro di plasma che circonda orbita di satellite Io ($5.3\text{-}8 R_J$, con $R_J \sim 71500 \text{ km}$)

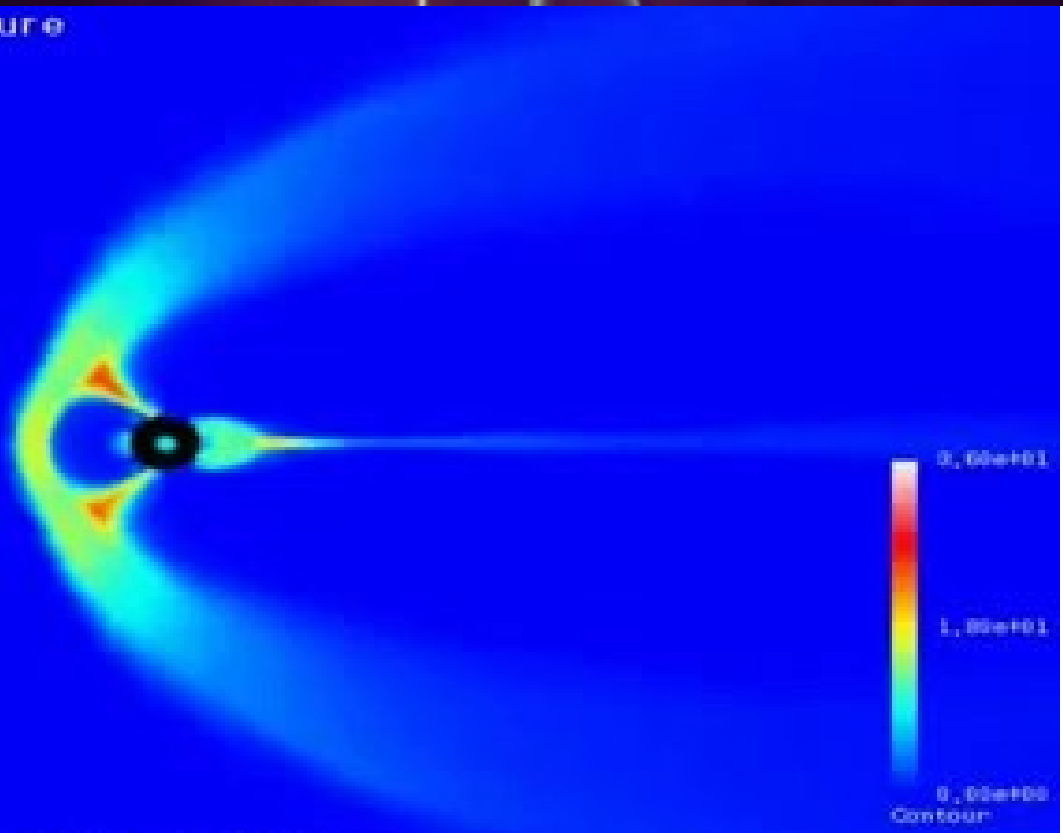


Il toro è prodotto dall'emissione di particelle da parte di Io (attività vulcanica)

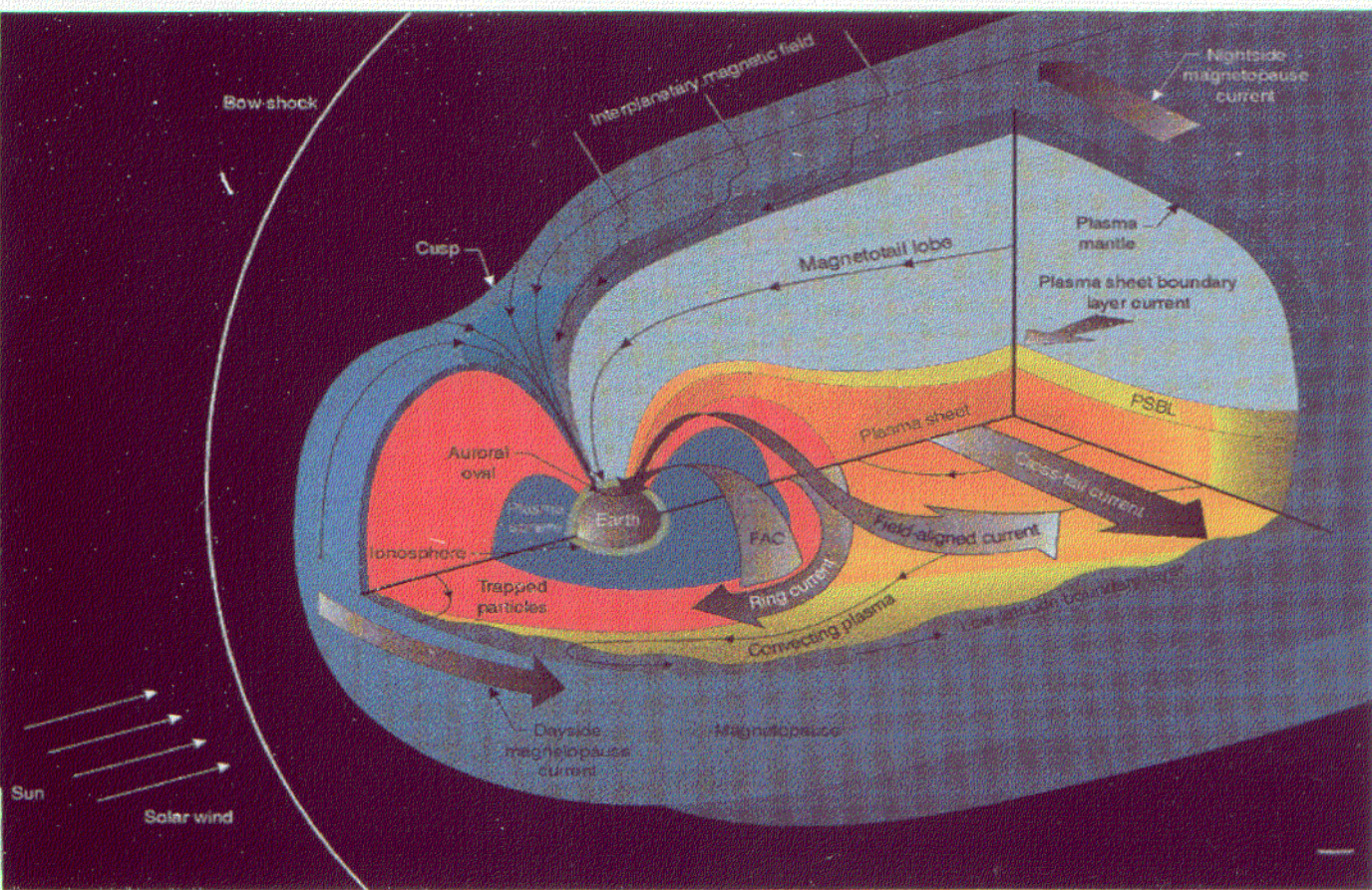
MAGNETOSFERA



Pressure



MAGNETOSFERA: derivazione delle dimensioni



BILANCIAMENTO tra P_{sw} (pressione vento solare) E
PRESSIONE MAGNETICA dovuta a campo \vec{B}

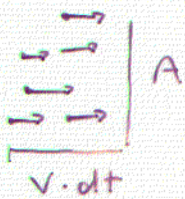
$$\Delta p = - m v$$

$$m = m_e + p^+$$

v = vel. del vento solare

$$\Delta p_{tot} = - N m v$$

$$F = \frac{\Delta p_{tot}}{dt}$$



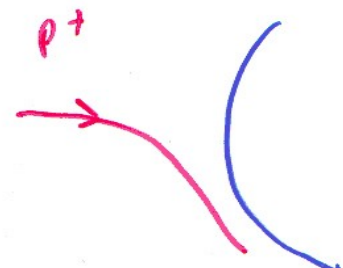
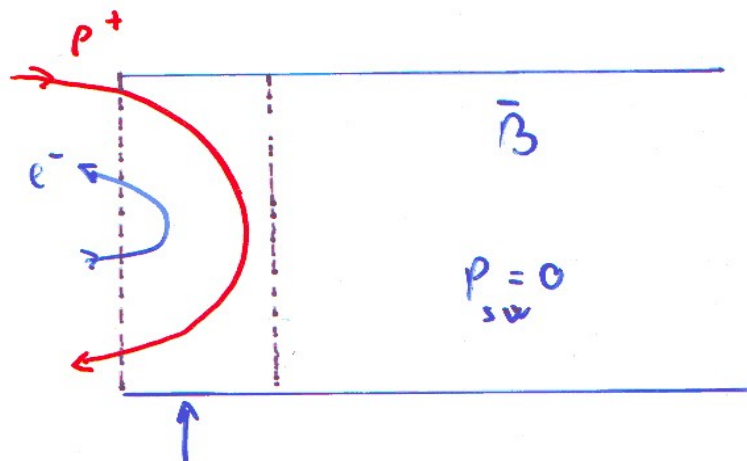
$$dx = Volt$$

$$F = \frac{\Delta p_{tot}}{dt} = N \frac{m v}{dx}^2$$

$$P = \frac{F}{A}$$

$$P = \frac{N m v^2}{A \cdot dx} = \frac{N}{V} m v^2 = S v^2$$

$$P_{sw} \sim S v^2$$



CORRENTE $\Rightarrow e^- e^+ p^+$ si spostaano.

$$\rho_m = \frac{B^2}{2\mu_0} \quad (\text{da MH0})$$

$$gV^2 = \frac{B^2}{2\mu_0}$$

All'equatore $B(r) = \frac{M_B}{r^3} = \frac{7.9 \times 10^{25}}{r^3}$ Gauss

$$gV^2 = \frac{M_B^2}{2\mu_0 r^6} \Rightarrow$$

$$r_m \approx \left(\frac{M_B^2}{2\mu_0 gV^2} \right)^{\frac{1}{6}}$$

per $g \approx 5 \text{ p}^+ \text{ or } \text{cm}^{-3}$
 $v \approx 300 \text{ km/s}$

$$r_m \approx 10 R_E$$